



Московский государственный университет имени М.В. Ломоносова  
Факультет вычислительной математики и кибернетики

## **Численное решение краевой задачи для уравнения Пуассона с потенциалом в прямоугольной области**

в рамках курса «Суперкомпьютерно моделирование и  
технологии»

Вариант 4  
Выполнила: Цянь Чэнсыцзинь, 614 группа

Москва  
2022

# Содержание

<b>1</b>	<b>Постановка задачи.</b>	<b>3</b>
<b>2</b>	<b>Определение функций <math>F(x, y)</math>, <math>\varphi(x, y)</math>, <math>\psi(x, y)</math>.</b>	<b>4</b>
<b>3</b>	<b>Разностная схема решения задачи.</b>	<b>4</b>
<b>4</b>	<b>Метод решения СЛАУ.</b>	<b>8</b>
<b>5</b>	<b>Краткое описание проделанной работы и программной реализации</b>	<b>9</b>
5.1	Последовательная программа . . . . .	9
5.2	Параллельная программа: MPI . . . . .	9
<b>6</b>	<b>Результаты на системе Polus</b>	<b>16</b>

# 1 Постановка задачи.

В прямоугольнике  $\Pi = \{A_1 \leq x \leq A_2, B_1 \leq y \leq B_2\}$ , граница  $\Gamma$  состоит из отрезков

$$\begin{aligned}\gamma_R &= \{(A_2, y), B_1 \leq y \leq B_2\}, \quad \gamma_L = \{(A_1, y), B_1 \leq y \leq B_2\}, \\ \gamma_T &= \{(x, B_2), A_1 \leq x \leq A_2\}, \quad \gamma_B = \{(x, B_1), A_1 \leq x \leq A_2\},\end{aligned}$$

рассматривается дифференциальное уравнение Пуассона с потенциалом

$$-\Delta u + q(x, y)u = F(x, y), \quad (1.1) \quad \boxed{\text{eq\_1.}}$$

в котором оператор Лапласа

$$\Delta u = \frac{\partial}{\partial x} \left( k(x, y) \frac{\partial u}{\partial x} \right) + \frac{\partial}{\partial y} \left( k(x, y) \frac{\partial u}{\partial y} \right).$$

Для выделения единственного решения уравнение (1.1) дополняется граничными условиями. На каждом отрезке границы прямоугольника  $\Pi$  задаются следующие условия:

1. условия первого типа (условия Дирихле):

$$u(x, y) = \varphi(x, y); \quad (1.2) \quad \boxed{\text{eq\_1.}}$$

2. условия третьего типа:

$$\left( k \frac{\partial u}{\partial n} \right)(x, y) + \alpha u(x, y) = \psi(x, y), \quad (1.3) \quad \boxed{\text{eq\_1.}}$$

где  $n$  – единичная внешняя нормаль к границе прямоугольника.

Функции  $F(x, y)$ ,  $\varphi(x, y)$ ,  $\psi(x, y)$ , коэффициент  $k(x, y)$ , потенциал  $q(x, y)$  и параметр  $\alpha \geq 0$  считаются известными. Требуется найти функцию  $u(x, y)$ , удовлетворяющую уравнению (1.1) и граничным условиям.

В соответствии с моим вариантом (**вариант 4**) задания рассматриваю следующие данные:

- $A_1 = 0, A_2 = 2, B_1 = 0, B_2 = 1,$
- $u(x, y) = u_4(x, y) = 1 + \cos(\pi xy),$
- $k(x, y) = k_3(x, y) = 4 + x + y,$
- $q(x, y) = q_0(x, y) = 0,$
- граничные условия  $\gamma_R = (1.3), \gamma_L = (1.2), \gamma_T = (1.3), \gamma_B = (1.2).$

**Задача.** Задача практикума заключается в восстановлении известной гладкой функции  $u(x, y)$  по её образу  $F(x, y) = -\Delta u + q(x, y)u$  и её граничным значениям.

## 2 Определение функций $F(x, y)$ , $\varphi(x, y)$ , $\psi(x, y)$ .

Определим функцию  $F(x, y)$ . Для этого вычислим оператор Лапласа, используя явные вид функций  $u(xy)$ ,  $k(x, y)$ :

$$\frac{\partial u}{\partial x} = -\pi y \sin(\pi xy), \quad \frac{\partial u}{\partial y} = -\pi x \sin(\pi xy)$$

$$\begin{aligned} \Delta u &= \frac{\partial}{\partial x} \left( (4 + x + y) \cdot (-\pi y \sin(\pi xy)) \right) + \frac{\partial}{\partial y} \left( (4 + x + y) \cdot (-\pi x \sin(\pi xy)) \right) = \\ &= -(\pi y)^2 (4 + x + y) \cos(\pi xy) - (\pi x)^2 (4 + x + y) \cos(\pi xy) - \pi y \sin(\pi xy) - \pi x \sin(\pi xy). \end{aligned}$$

Учитывая, что  $q(x, y) = 0$ ,  $u = 1 + \cos(\pi xy)$ , то

$$F(x, y) = \pi^2 y^2 (4 + x + y) \cos(\pi xy) + \pi^2 x^2 (4 + x + y) \cos(\pi xy) + \pi y \sin(\pi xy) + \pi x \sin(\pi xy). \quad (2.1) \quad \boxed{\text{eq\_2.}}$$

левое  $\gamma_L$  и нижнее  $\gamma_B$  граничное условие:

$$\gamma_L = u(0, y) = \varphi(0, y) = 2, \quad \gamma_B = u(x, 0) = \varphi(x, 0) = 2,$$

правое  $\gamma_R$  граничное условие ( $x = 1$ ):

$$\gamma_R = \psi(2, y) = (6 + y) (-\pi y \sin(2\pi y)) + 1 + \cos(2\pi y),$$

верхнее  $\gamma_T$  граничное условие ( $y = 1$ ):

$$\gamma_T = \psi(x, 1) = (5 + x) (-\pi x \sin(\pi x)) + 1 + \cos(\pi x).$$

## 3 Разностная схема решения задачи.

Краевые задачи для уравнения Пуассона с потенциалом (1.1) предлагается численно решать методом конечных разностей. В расчетной области  $\Pi$  определяется равномерная прямоугольная сетка  $\bar{\omega}_h = \bar{\omega}_1 \times \bar{\omega}_2$ , где

$$\bar{\omega}_1 = \{x_i = A_1 + ih_1, i = \overline{0, M}\}, \quad \bar{\omega}_2 = \{y_j = B_1 + jh_2, j = \overline{0, N}\}.$$

Здесь  $h_1 = (A_2 - A_1)/M$ ,  $h_2 = (B_2 - B_1)/N$ . Через  $\omega_h$  обозначим множество внутренних узлов сетки  $\bar{\omega}_h$ .

Рассмотрим линейное пространство  $H$  функций, заданных на сетке  $\bar{\omega}_h$ . Обозначим через  $w_{ij}$  значение сеточной функции  $w \in H$  в узле сетки  $(x_i, y_j) \in \bar{\omega}_h$ . Будем считать, что в

пространстве  $H$  задано скалярное произведение и евклидова норма

$$[u, v] = \sum_{i=0}^M h_1 \sum_{j=0}^N h_2 \rho_{ij} u_{ij} v_{ij} = h_1 h_2 \sum_{i=0}^M \sum_{j=0}^N \rho_{ij} u_{ij} v_{ij}, \quad \|u\|_E = \sqrt{[u, u]}. \quad (3.1) \quad \text{eq\_3.}$$

Весовая функция  $\rho_{ij} = \rho^{(1)}(x_i) \rho^{(2)}(y_j)$ , где

$$\rho^{(1)}(x_i) = \begin{cases} 1, & 1 \leq i \leq M-1 \\ 1/2, & i=0, i=M \end{cases} \quad \rho^{(2)}(y_j) = \begin{cases} 1, & 1 \leq j \leq N-1 \\ 1/2, & j=0, j=N \end{cases}$$

В методе конечных разностей дифференциальная задача математической физики заменяется конечно-разностной операторной задачей вида

$$Aw = B, \quad (3.2) \quad \text{eq\_3.}$$

где  $A : H \rightarrow H$  – оператор, действующий в пространстве сеточных функций,  $B \in H$  – известная правая часть. Задача (3.2) называется разностной схемой. Решение этой задачи считается численным решением исходной дифференциальной задачи.

При построении разностной схемы следует аппроксимировать все уравнения краевой задачи их разностными аналогами – сеточными уравнениями, связывающими значения искомой сеточной функции в узлах сетки. Полученные таким образом уравнения должны быть функционально независимыми, а их общее количество – совпадать с числом неизвестных, т.е. с количеством узлов сетки.

Уравнение (1.1) во всех внутренних точках сетки аппроксимируется разностным уравнением

$$-\Delta_h w_{ij} + q_{ij} w_{ij} = F_{ij}, \quad i = \overline{1, M-1}, \quad j = \overline{1, N-1}, \quad (3.3) \quad \text{eq\_3.}$$

в котором  $F_{ij} = F(x_i, y_j)$ ,  $q_{ij} = q(x_i, y_j)$ , разностный оператор Лапласа

$$\Delta_h w_{ij} = \frac{1}{h_1} \left( k(x_i + 0.5h_1, y_j) \frac{w_{i+1j} - w_{ij}}{h_1} - k(x_i - 0.5h_1, y_j) \frac{w_{ij} - w_{i-1j}}{h_1} \right) + \frac{1}{h_2} \left( k(x_i, y_j + 0.5h_2) \frac{w_{ij+1} - w_{ij}}{h_2} - k(x_i, y_j - 0.5h_2) \frac{w_{ij} - w_{ij-1}}{h_2} \right).$$

Введем обозначения правой и левой разностных производных по переменным  $x, y$  соответственно:

$$w_{x,ij} = \frac{w_{i+1j} - w_{ij}}{h_1}, \quad w_{\bar{x},ij} = w_{x,i-1j} = \frac{w_{ij} - w_{i-1j}}{h_1}, \\ w_{y,ij} = \frac{w_{ij+1} - w_{ij}}{h_2}, \quad w_{\bar{y},ij} = w_{y,ij-1} = \frac{w_{ij} - w_{ij-1}}{h_2},$$

а также определим сеточные коэффициенты

$$a_{ij} = k(x_i - 0.5h_1, y_j), \quad b_{ij} = k(x_i, y_j - 0.5h_2).$$

С учетом принятых обозначений разностный оператор Лапласа можно представить в более компактном и удобном виде  $\Delta_h w_{ij} = (aw_{\bar{x}})_{x,ij} + (bw_{\bar{y}})_{y,ij}$ .

Аппроксимация граничных условий первого типа имеет вид:

$$w_{ij} = \varphi(x_i, y_j). \quad (3.4) \quad \text{eq\_3.}$$

**Замечание.** Переменные  $w_{ij}$ , заданные равенством (3.4), исключаются из разностной схемы, а соответствующие узлы  $P_{ij}(x_i, y_j)$  – из расчетной сетки  $\bar{\omega}_h$ . В скалярном произведении (3.1) слагаемые, отвечающие данным граничным узлам, считаются равными нулю.

Аппроксимация граничных условий третьего типа на правой и верхней сторонах прямоугольника имеет вид:

$$\begin{aligned} (2/h_1)(aw_{\bar{x}})_{Mj} + (q_{Mj} + 2\alpha_R/h_1)w_{Mj} - (bw_{\bar{y}})_{y,Mj} &= F_{Mj} + (2/h_1)\psi_{Mj}, \quad j = \overline{1, N-1}. \\ (2/h_2)(bw_{\bar{y}})_{iN} + (q_{iN} + 2\alpha_T/h_2)w_{iN} - (aw_{\bar{x}})_{x,iN} &= F_{iN} + (2/h_2)\psi_{iN}, \quad i = \overline{1, M-1}. \end{aligned} \quad (3.5) \quad \text{eq\_3.}$$

Здесь  $\alpha_R, \alpha_T$  – параметры в граничных условиях третьего типа, которые мы будем считать неизменными вдоль отрезков  $\gamma_R, \gamma_T$  соответственно.

Сеточных уравнений (3.3)-(3.5) недостаточно, чтобы определить разностную схему для задачи с граничными условиями (1.2), (1.3). Требуются сеточные уравнения для угловой точки  $(A_2, B_2)$  прямоугольника  $\Pi$ . Она имеет следующий вид:

$$\begin{aligned} (2/h_1)(aw_{\bar{x}})_{MN} + (2/h_2)(bw_{\bar{y}})_{MN} + (q_{MN} + 2\alpha_R/h_1 + 2\alpha_T/h_2)w_{MN} &= \\ &= F_{MN} + (2/h_1 + 2/h_2)\psi_{MN} \end{aligned} \quad (3.6) \quad \text{eq\_3.}$$

– в вершине  $P(A_2, B_2)$  прямоугольника. Здесь  $\psi_{MN} = \frac{h_1\psi(A_2-0, B_2) + h_2\psi(A_2, B_2-0)}{h_1+h_2}$ , где  $\psi(x_0 \pm 0, y) = \lim_{x \rightarrow x_0 \pm 0} \psi(x, y), \psi(x, y_0 \pm 0) = \lim_{y \rightarrow y_0 \pm 0} \psi(x, y)$ .

**Замечание.** Разностные схемы (3.2), аппроксимирующие все описанные выше краевые задачи для уравнения Пуассона с положительным потенциалом, обладают самосопряженным и положительно определенным оператором  $A$  и имеют единственное решение при любой правой части.

**Замечание.** В краевых условиях третьего типа числа  $\alpha_R, \alpha_T$  всюду считать равными единице.

Соберём все уравнения, получим систему линейных алгебраических уравнений (СЛАУ),

состоящую из  $(M) \times (N)$  уравнений и  $(M) \times (N)$  неизвестной:

$$\left\{ \begin{array}{ll} -\Delta_h w_{ij} + q_{ij} w_{ij} = F_{ij}, & i = \overline{2, M-1}, j = \overline{2, N-1} \\ -(aw_{\bar{x}})_{x,i1} - \frac{1}{h_2} \left[ (bw_{\bar{y}})_{i2} - \frac{1}{h_2} b_{i1} w_{i1} \right] + q_{i1} w_{i1} = F_{i1} + \frac{b_{i1}}{h_2^2} \varphi_{i0}, & i = \overline{2, M-1}, j = 1 \\ -(bw_{\bar{y}})_{y,1j} - \frac{1}{h_1} \left[ (aw_{\bar{x}})_{2j} - \frac{1}{h_1} a_{1j} w_{1j} \right] + q_{1j} w_{1j} = F_{1j} + \frac{a_{1j}}{h_1^2} \varphi_{0j}, & i = 1, j = \overline{2, N-1} \\ \frac{2}{h_2} (bw_{\bar{y}})_{iN} + (q_{iN} + \frac{2}{h_2}) w_{iN} - (aw_{\bar{x}})_{x,iN} = F_{iN} + \frac{2}{h_2} \psi_{iN}, & i = \overline{2, M-1}, j = N \\ \frac{2}{h_2} (aw_{\bar{x}})_{Mj} + (q_{Mj} + \frac{2}{h_1}) w_{Mj} - (bw_{\bar{y}})_{y,Mj} = F_{Mj} + \frac{2}{h_1} \psi_{Mj}, & i = M, j = \overline{2, N-1} \\ \frac{2}{h_1} (aw_{\bar{x}})_{MN} + \frac{2}{h_2} (bw_{\bar{y}})_{MN} + (q_{MN} + \frac{2}{h_1} + \frac{2}{h_2}) w_{MN} = \\ = F_{MN} + (\frac{2}{h_1} + \frac{2}{h_2}) \psi_{MN}, & i = M, j = N \\ -\frac{1}{h_1} \left[ (aw_{\bar{x}})_{21} - \frac{1}{h_1} a_{11} w_{11} \right] - \frac{1}{h_2} \left[ (bw_{\bar{y}})_{12} - \frac{1}{h_2} b_{11} w_{11} \right] + q_{11} w_{11} \\ = F_{11} + \frac{a_{11}}{h_1^2} \varphi_{01} + \frac{b_{11}}{h_2^2} \varphi_{10}, & i = 1, j = 1 \\ \frac{2}{h_2} (bw_{\bar{y}})_{1N} + (q_{1N} + \frac{2}{h_2}) w_{1N} - \frac{1}{h_1} \left[ (aw_{\bar{x}})_{2N} - \frac{1}{h_1} a_{1N} w_{1N} \right] = \\ = F_{1N} + \frac{2}{h_2} \psi_{1N} + \frac{a_{1N}}{h_1^2} \varphi_{0N}, & i = 1, j = N \\ \frac{2}{h_1} (aw_{\bar{x}})_{M1} + (q_{M1} + \frac{2}{h_2}) w_{M1} - \frac{1}{h_2} \left[ (bw_{\bar{y}})_{M2} - \frac{1}{h_2} b_{M1} w_{M1} \right] = \\ = F_{M1} + \frac{2}{h_2} \psi_{M1} + \frac{a_{M1}}{h_2^2} \varphi_{M0}. & i = M, j = 1 \end{array} \right. \quad (3.7) \quad \boxed{\text{eq\_3.}}$$

Вытянем сеточную функцию  $w_{i,j}$ ,  $i = \overline{1, M}$ ,  $j = \overline{1, N}$  в вектор:

$$w^T = (w_{1,1}, w_{1,2}, \dots, w_{1,N}; w_{2,1}, w_{2,2}, \dots, w_{2,N}; \dots; w_{M,1}, w_{M,2}, \dots, w_{M,N}),$$

Распишем подробную систему (3.7) выписав линейно по  $w_{i,j}$  (с учетом того, что в моем варианте:  $q_{i,j} = q(x_i, y_j) = 0$ , и  $\varphi(x_i, 0) = \varphi(0, y_j) = 2$ ):

**$i = 1, j = 1$  :**

$$\left( \frac{a_{2,1} + a_{1,1}}{h_1^2} + \frac{b_{1,2} + b_{1,1}}{h_2^2} \right) w_{1,1} - \frac{b_{1,2}}{h_2^2} w_{1,2} - \frac{a_{2,1}}{h_1^2} w_{2,1} = F_{1,1} + \frac{a_{1,1}}{h_1^2} \varphi_{0,1} + \frac{b_{1,1}}{h_2^2} \varphi_{1,0},$$

**$i = 1, j = \overline{2, N-1}$  :**

$$-\frac{b_{1,j}}{h_2^2} w_{1,j-1} + \left( \frac{a_{2,j} + a_{1,j}}{h_1^2} + \frac{b_{1,j+1} + b_{1,j}}{h_2^2} \right) w_{1,j} - \frac{b_{1,j+1}}{h_2^2} w_{1,j+1} - \frac{a_{2,j}}{h_1^2} w_{2,j} = F_{1,j} + \frac{a_{1,j}}{h_1^2} \varphi_{0,j},$$

**$i = 1, j = N$  :**

$$-\frac{2b_{1,N}}{h_2^2} w_{1,N-1} + \left( \frac{2b_{1,N}}{h_2^2} + \frac{2}{h_2} + \frac{a_{2,N} + a_{1,N}}{h_1^2} \right) w_{1,N} - \frac{a_{2,N}}{h_1^2} w_{2,N} = F_{1,N} + \frac{2}{h_2} \psi_{1,N} + \frac{a_{1,N}}{h_1^2} \varphi_{0,N},$$

**$i = \overline{2, M-1}, j = 1$  :**

$$-\frac{a_{i,1}}{h_1^2} w_{i-1,1} + \left( \frac{a_{i+1,1} + a_{i,1}}{h_1^2} + \frac{b_{i,2} + b_{i,1}}{h_2^2} \right) w_{i,1} - \frac{b_{i,2}}{h_2^2} w_{i,2} - \frac{a_{i+1,1}}{h_1^2} w_{i+1,1} = F_{i,1} + \frac{b_{i,1}}{h_2^2} \varphi_{i,0},$$

$i = \overline{2, M-1}, j = \overline{2, N-1}$  :

$$-\frac{a_{i,j}}{h_1^2}w_{i-1,j} - \frac{b_{i,j}}{h_2^2}w_{i,j-1} + \left(\frac{a_{i+1,j} + a_{i,j}}{h_1^2} + \frac{b_{i,j+1} + b_{i,j}}{h_2^2}\right)w_{i,j} - \frac{b_{i,j+1}}{h_2^2}w_{i,j+1} - \frac{a_{i+1,j}}{h_1^2}w_{i+1,j} = F_{i,j},$$

$i = \overline{2, M-1}, j = N$  :

$$-\frac{a_{i,N}}{h_1^2}w_{i-1,N} - \frac{2b_{i,N}}{h_2^2}w_{i,N-1} + \left(\frac{2b_{i,N}}{h_2^2} + \frac{2}{h_2} + \frac{a_{i+1,N} + a_{i,N}}{h_1^2}\right)w_{i,N} - \frac{a_{i+1,N}}{h_1^2}w_{i+1,N} = F_{i,N} + \frac{2}{h_2}\psi_{iN},$$

$i = M, j = 1$  :

$$-\frac{2a_{M,1}}{h_1^2}w_{M-1,1} + \left(\frac{2a_{M,1}}{h_1^2} + \frac{2}{h_1} + \frac{b_{M,2} + b_{M,1}}{h_2^2}\right)w_{M,1} - \frac{b_{M,2}}{h_2^2}w_{M,2} = F_{M,1} + \frac{2}{h_1}\psi_{M,1} + \frac{b_{M,1}}{h_2^2}\varphi_{M,0}.$$

$i = M, j = \overline{2, N-1}$  :

$$-\frac{2a_{M,j}}{h_1^2}w_{M-1,j} - \frac{b_{M,j}}{h_2^2}w_{M,j-1} + \left(\frac{2a_{M,j}}{h_1^2} + \frac{2}{h_1} + \frac{b_{M,j+1} + b_{M,j}}{h_2^2}\right)w_{M,j} - \frac{b_{M,j+1}}{h_2^2}w_{M,j+1} = F_{M,j} + \frac{2}{h_1}\psi_{M,j},$$

$i = M, j = N$  :

$$-\frac{2a_{M,N}}{h_1^2}w_{M-1,N} - \frac{2b_{M,N}}{h_2^2}w_{M,N-1} + \left(\frac{2a_{M,N}}{h_1^2} + \frac{2b_{M,N}}{h_2^2} + \frac{2}{h_1} + \frac{2}{h_2}\right)w_{M,N} = F_{M,N} + \left(\frac{2}{h_1} + \frac{2}{h_2}\right)\psi_{M,N}$$

Введём следующие обозначения:

$$c_{i,j} = \frac{a_{i,j} + a_{i+1,j}}{h_1^2} + \frac{b_{i,j} + b_{i,j+1}}{h_2^2},$$

$$d_{i,N} = \frac{2b_{i,N}}{h_2^2} + \frac{2}{h_2} + \frac{a_{i,N} + a_{i+1,N}}{h_1^2}, \quad e_{M,j} = \frac{2a_{M,j}}{h_1^2} + \frac{2}{h_1} + \frac{b_{M,j} + b_{M,j+1}}{h_2^2},$$

$$f_{1,N} = \frac{2a_{M,N}}{h_1^2} + \frac{2b_{M,N}}{h_2^2} + \frac{2}{h_1} + \frac{2}{h_2}.$$

## 4 Метод решения СЛАУ.

Приближенное решение системы уравнений (3.2) для сформулированных выше краевых задач может быть получено итерационным методом наименьших невязок. Этот метод позволяет получить последовательность сеточных функций  $w^{(k)} \in H, k = 1, 2, \dots$ , сходящуюся по норме пространства  $H$  к решению разностной схемы, т.е.

$$\|w - w^{(k)}\|_E \rightarrow 0, \quad k \rightarrow +\infty.$$

Начальное приближение  $w^{(0)}$  можно выбрать любым способом, например, равным нулю во всех точках расчетной сетки.

Метод является одношаговым. Итерация  $w^{(k+1)}$  вычисляется по итерации  $w^{(k)}$  согласно



равенствам:

$$w_{ij}^{(k+1)} = w_{ij}^{(k)} - \tau_{k+1} r_{ij}^{(k)}, \quad (4.1)$$

где невязка  $r^{(k)} = Aw^{(k)} - B$ , итерационный параметр  $\tau_{k+1} = \frac{[Ar^{(k)}, r^{(k)}]}{\|Ar^{(k)}\|_E^2}$ . В качестве условия остановки итерационного процесса возьмем неравенство

$$\|w^{(k+1)} - w^{(k)}\|_E < \varepsilon,$$

где  $\varepsilon$  – положительное число, определяющее точность итерационного метода.

## 5 Краткое описание проделанной работы и программной реализации

Согласно постановке задания №3 необходимо написать одну последовательную программу и две параллельные программы для решения поставленной задачи, одна из которых будет использовать стандарт MPI, а другая будет гибридной и будет использовать совместно технологии MPI и OpenMP.

### 5.1 Последовательная программа

Шаг 1: Инициализировать матрицу  $B$ ; **InitializeMatrixB()**

Шаг 2: Выберите начальное значение итерации  $w^{(0)}$ ;

Шаг 3: Вычислите  $Aw^{(k)}$ ; – **CalculateAw()**

Шаг 4: Вычислите невязку  $r^{(k)} = Aw^{(k)} - B$ ; – **Diff2Vector()**

Шаг 5: Вычислите  $\tau_{k+1} = \frac{[Ar^{(k)}, r^{(k)}]}{\|Ar^{(k)}\|_E^2}$ , – **DotProduct(), NormVector()**

Шаг 6: Обновите  $w_{ij}^{(k+1)} = w_{ij}^{(k)} - \tau_{k+1} r_{ij}^{(k)}$ ; – **Update\_w()**

Шаг 7: Сравните значения  $\|w^{(k+1)} - w^{(k)}\|_E$  и  $EPS$ , если  $\|w^{(k+1)} - w^{(k)}\|_E$  меньше или равно  $EPS$ , алгоритм завершается, а  $w_{ij}^{(k+1)}$  является окончательным численным решением, если  $\|w^{(k+1)} - w^{(k)}\|_E$  больше  $EPS$ , повторяем шаги 3-6.

### 5.2 Параллельная программа: MPI

#### 5.2.1 Алгоритм двумерного разбиения расчетной области $\Pi$ на домены

Перед непосредственной реализацией программы важно понять, как осуществлять разбиение на блоки-домены  $\Pi_{ij}$ , соблюдая следующие условия:

1. отношение количества узлов по переменным  $x$  и  $y$  в каждом домене принадлежало диапазону  $[1/2, 2]$ ;

2. количество узлов по переменным  $x$  и  $y$  любых двух доменов отличалось не более, чем на единицу.

Предположим, что всего имеется  $p$  процессов, есть  $p_x$  процессов в направлении оси  $x$  и  $p_y$  процессов в направлении оси  $y$ . В каждом блоке процесса есть количество узлы  $n_x$  и  $n_y$  в направлениях  $x$  и  $y$ . Следовательно, условие (5.2.1) означает

$$1. \quad \frac{n_x(i)}{n_y(j)} \in [1/2, 2], \quad \forall i \in \overline{1, p_x}, j \in \overline{1, p_y}$$

$$2. \quad |n_x(i) - n_x(k)| \leq 1, \quad \forall i, k \in \overline{1, p_x}; \quad |n_y(j) - n_y(z)| \leq 1, \quad \forall j, z \in \overline{1, p_y}.$$

где  $p = p_x * p_y$ .

Во-первых, давайте разберемся с условием 2. Возьмем, к примеру,  $p_x = 4, p_y = 8$  и количество узлов  $500 * 500$ . Каждый блок получает  $500/4 = 125$  узлов по оси  $x$ . Для оси  $y$  каждому блоку сначала выделяется  $500/8 = 62$  узла, а оставшиеся  $500 \% 8 = 4$  узла выделяются блокам, координата  $j$  которых меньше остатка 4. Т.е. блока процесса с координатами  $j = 0, 1, 2, 3$  имеются 63 узла по оси  $y$ , а остальные блоки процесса 62.

Затем проверяем условие 1. В этом примере,  $\frac{n_x(i)}{n_y(j)} = 125/63 \approx 2$ , выполняется условие 1. Следовательно, если  $\min|p_x - p_y| \& p_x * p_y = p$  выполнено, и узлы распределены для блоков по осям  $x$  и  $y$  указанным выше образом, то деление области удовлетворяет условиям 1 и 2.

Часть разбиения области реализуется следующей функцией:

#### • struct ProcInfo

чтобы сохранить необходимую информацию, требуемую каждым блоком процесса, создаем структуру ProcInfo.

```

1 // A structure containing the information needed for a process block
2 struct ProcInfo {
3     int num_procs;
4     int dims_x, dims_y; // Record how many processes are on the x and y axes
5
6     int rank; // the rank of the process block
7     int coords[2]; // The coordinates of this process block in the MPI topology
8
9     int size_x, size_y; // The size of the process block
10    // The start and end coordinates of the process block
11    int i_beg, i_end; int j_beg, j_end;
12
13    // Process block size containing neighbor block boundary information.
14    real_size_x = size_x + 2; real_size_y = size_y + 2
15    int real_size_x, real_size_y;
16
17    // The rank of the process block's upper, lower, left, and right neighbors
18    int nb_left, nb_right, nb_up, nb_down;
19 };

```

- **DomainDecomp(), FindNumproc\_X()**

Информация о параметрах структуры ProcInfo получается в функции DomainDecomp(). В этой функции мы используем **MPI\_Cart\_create()** для создания виртуальной топологии решетки, **MPI\_Comm\_rank()** и **MPI\_Cart\_coords()** для получения ранг и координаты координаты данной блока в виртуальной решетке. Затем мы используем функцию **FindNumproc\_X()**, чтобы получить количество процессов по осям x и y, также вычислить размер и начальные координаты i\_beg, j\_beg каждого блока. Наконец, ранг верхнего/нижнего/левого/правого блока процесса получается через функцию **MPI\_CART\_SHIFT()** для подготовки к обмену информацией между блоками процесса.

```
1 // Find the closest two factors a*b=num_procs && min|a-b|
2 int FindNumproc_X(int num_procs) {
3     int s = (int)sqrt(num_procs);
4     for (int i = s; i > 0; i--) {
5         if (num_procs % i == 0) {
6             return i;
7         }
8     }
9 }
10
11 // Decompose the region and obtain the necessary information about the
    process block itself
12 void DomainDecomp(int M, int N, MPI_Comm* Grid_Comm, ProcInfo* Proc) {
13     // The MPI library is being activated...
14     MPI_Comm_size(MPI_COMM_WORLD, &(Proc->num_procs));
15     MPI_Comm_rank(MPI_COMM_WORLD, &(Proc->rank));
16
17     // Determine how many processes are in each of the x, y directions
18     int dims[2] = { 0,0 };
19     dims[0] = FindNumproc_X(Proc->num_procs);
20     dims[1] = Proc->num_procs / dims[0];
21     Proc->dims_x = dims[0]; Proc->dims_y = dims[1];
22
23     // Creating MPI Topology...
24     const int ndims = 2;
25     int periods[2] = { 0,0 };
26     MPI_Cart_create(MPI_COMM_WORLD, ndims, dims, periods, 0, Grid_Comm);
27     MPI_Comm_rank(*Grid_Comm, &(Proc->rank));
28     MPI_Cart_coords(*Grid_Comm, Proc->rank, ndims, Proc->coords);
29
30     // Determine the number of nodes in each domain
31     Proc->size_x = M / dims[0]; Proc->size_y = N / dims[1];
32     if (Proc->coords[0] < (M % dims[0])) Proc->size_x += 1;
33     if (Proc->coords[1] < (N % dims[1])) Proc->size_y += 1;
```

```

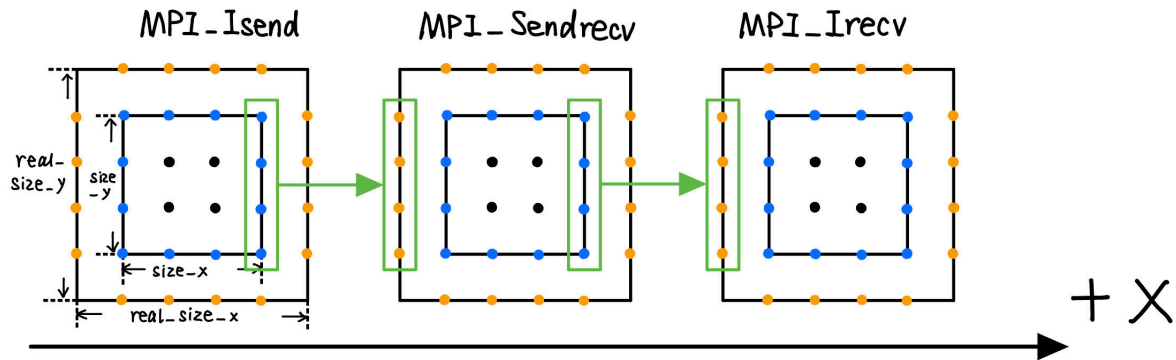
34
35 // Calculate the starting point and ending point of each domain
36 // i_beg
37 if (Proc->coords[0] < M % dims[0]) {
38     Proc->i_beg = Proc->coords[0] * (M / dims[0]) + Proc->coords[0];
39 }
40 else { // Proc->coords[0] >= M % dims[0]
41     Proc->i_beg = Proc->coords[0] * (M / dims[0]) + M % dims[0];
42 }
43 Proc->i_end = Proc->i_beg + Proc->size_x - 1;
44 // j_beg
45 if (Proc->coords[1] < N % dims[1]) {
46     Proc->j_beg = Proc->coords[1] * (N / dims[1]) + Proc->coords[1];
47 }
48 else {
49     Proc->j_beg = Proc->coords[1] * (N / dims[1]) + N % dims[1];
50 }
51 Proc->j_end = Proc->j_beg + Proc->size_y - 1;
52
53 // real_size is the process block size with neighbor block boundary
   information
54 Proc->real_size_x = Proc->size_x + 2; Proc->real_size_y = Proc->size_y + 2;
55
56 // Get the rank of a neighboring process block
57 MPI_Cart_shift(*Grid_Comm, 0, 1, &(Proc->nb_left), &(Proc->nb_right));
58 MPI_Cart_shift(*Grid_Comm, 1, 1, &(Proc->nb_down), &(Proc->nb_up));
59 }

```

### 5.2.2 Межпроцессного взаимодействия

- ExchangeBorder()

Эта функция завершает процесс обмена граничной информацией между блоками



fig\_1

Рис. 5.1: обмен граничными данными по +X

процесса. Для предотвращения «Deadlock» во время связи, обмен данными будет осуществляться по направлениям +Y/-Y/+X/-X соответственно. Возьмём рис. (5.1)

в качестве примера, чтобы проиллюстрировать этот процесс.

Точки в каждом блоке процесса делятся на три категории: внутренние точки (черные точки на рисунке), граничные точки (синие точки), полученные точки (желтые точки). При движении вдоль  $+X$ , если блок процесса находится на левой границе, он отправляет только свои правые граничные точки соседу справа; если блок процесса находится на правой границе, он получает граничные точки только от левого соседа; если процесс блок не находится в границе, он не только отправляет свою правую граничные точки правому соседу, но и получает информацию от левого соседа. То же самое для направления  $-X/+Y/-Y$ .

Исходя из описанного выше процесса межпроцессного взаимодействия, коммуникационные функции MPI, которые необходимо использовать, следующие неблокирующие/блокирующие функции: `MPI_Isend()`, `MPI_Sendrecv()`, `MPI_Irecv()`, и используем `MPI_Wait()` для обеспечения завершения неблокирующей отправки и получения сообщений.

```
1 // Exchange process block boundary information
2 void ExchangeBorder(double* w_plus, MPI_Comm* Grid_Comm, ProcInfo* Proc) {
3     .....
4     .....
5     int i, j;
6     int TAG_X = 0, TAG_Y = 1;
7
8     MPI_Status status;
9     MPI_Request request;
10
11     //To avoid deadlock, next, the boundary information will be transmitted
12     // along the +Y / -Y / +X / -X directions respectively
13     // +Y:
14     if ((Proc->nb_down < 0) && (Proc->nb_up >= 0)) { // The process block is at
15         the lower border
16         for (i = 1; i <= Proc->size_x; i++) {
17             send_up[i] = w_plus[(i + 1) * size_y - 2];
18         }
19         MPI_Isend(send_up, size_x, MPI_DOUBLE, Proc->nb_up, TAG_Y, *Grid_Comm, &
20             request);
21     }
22     else if ((Proc->nb_down >= 0) && (Proc->nb_up >= 0)) {
23         for (i = 1; i <= Proc->size_x; i++) {
24             send_up[i] = w_plus[(i + 1) * size_y - 2];
25         }
26
27         MPI_Sendrecv(send_up, size_x, MPI_DOUBLE, Proc->nb_up, TAG_Y, recv_down,
28             size_x, MPI_DOUBLE, Proc->nb_down, TAG_Y, *Grid_Comm, &status);
29         for (i = 1; i <= Proc->size_x; i++) {
```

```

26     w_plus[i * size_y] = recv_down[i];
27 }
28 }
29 else if ((Proc->nb_down >= 0) && (Proc->nb_up < 0)) { // The process block
    is at the upper border
30     MPI_Irecv(recv_down, size_x, MPI_DOUBLE, Proc->nb_down, TAG_Y, *Grid_Comm
    , &request);
31     MPI_Wait(&request, &status);
32     for (i = 1; i <= Proc->size_x; i++) {
33         w_plus[i * size_y] = recv_down[i];
34     }
35 }
36     .....
37     .....
38 }

```

### 5.2.3 Реализация итеративного алгоритма

В отличие от последовательной программы, реализация MPI реализует каждый шаг итерационного алгоритма на основе каждой блока процесса. Но значения  $\tau$ ,  $\text{norm}(\text{diff\_w})$  вычисляются по всем точкам, поэтому мы используем **MPI\_Allreduce()** для получения глобального  $\tau$ ,  $\text{norm}(\text{diff\_w})$  через операцию **MPI\_SUM**. Обратите внимание, что перед расчетом  $Aw/Ar$  требуется необходимый обмен граничными значениями.

```

1 // Implement an iterative algorithm
2 double Solve(int M, int N, double h_x, double h_y, MPI_Comm* Grid_Comm, ProcInfo*
    Proc, int* num_iter) {
3     .....
4     .....
5 // Given an initial iteration value
6 InitMatrix_with_value(w, 0.82, Proc->real_size_x, Proc->real_size_y);
7
8 // Initialize the right side of the equation: matrix B
9 InitializeB(B, M, N, h_x, h_y, Proc);
10 do {
11     // w^(k)
12     Update_pre_w(pre_w, w, Proc->real_size_x, Proc->real_size_y);
13     // Exchanging boundary information between process blocks
14     ExchangeBorder(pre_w, Grid_Comm, Proc);
15     // Aw^{k}
16     CalculateAw(Aw, pre_w, M, N, h_x, h_y, Proc);
17     // r^{k} = Aw^{k} - B
18     Diff2Vector(r, Aw, B, Proc->real_size_x, Proc->real_size_y);
19     // Exchanging boundary information between process blocks
20     ExchangeBorder(r, Grid_Comm, Proc);
21     // Ar^{k}

```

```

22 CalculateAw(Ar, r, M, N, h_x, h_y, Proc);
23 // tau
24 // step 1. Each process block calculates its own tau numerator and denominator
25 tau_local_numerator = DotProduct(Ar, r, M, N, h_x, h_y, Proc);
26 tau_local_denominator = DotProduct(Ar, Ar, M, N, h_x, h_y, Proc);
27 // step 2. After reduction, compute the public global tau
28 MPI_Allreduce(&tau_local_numerator, &tau_global_numerator, 1, MPI_DOUBLE,
MPI_SUM, *Grid_Comm);
29 MPI_Allreduce(&tau_local_denominator, &tau_global_denominator, 1, MPI_DOUBLE,
MPI_SUM, *Grid_Comm);
30 tau_global = tau_global_numerator / tau_global_denominator;
31 // w^{k+1}_{ij}
32 Update_w(w, pre_w, tau_global, r, M, N, Proc);
33 *(num_iter) = *(num_iter)+1;
34 // ||w^{k+1} - w^k|| < EPS
35 Diff2Vector(diff_w, w, pre_w, Proc->real_size_x, Proc->real_size_y);
36 // Calculate the error within each process block
37 diff_local = DotProduct(diff_w, diff_w, M, N, h_x, h_y, Proc);
38 // After reduction, compute the public global error
39 MPI_Allreduce(&diff_local, &diff_global, 1, MPI_DOUBLE, MPI_SUM, *Grid_Comm);
40 error_norm = sqrt(diff_global);
41
42 } while (error_norm > EPS);
43     .....
44     .....
45 }

```

## 5.2.4 Гибридное программирование openMP+MPI

В этой программе на основе программы MPI добавлены следующие две директивы openMP:

- 1 #pragma omp parallel for default(shared) schedule(dynamic)
- 2 #pragma omp parallel for default(shared) schedule(dynamic) reduction(+:res)

Первая директива используется для распараллеливания цикла for. Здесь чтобы переменные каждой нити не смешивались друг с другом, можно использовать **private** или объявить переменные внутри цикла. Вторая директива openMP используется в функции **DotProduct()**. reduction объявляет, что res является частной переменной нити, после завершения параллелизма выполняется операция суммирования, и результат возвращается в одноименную переменную основной нити.

## 6 Результаты на системе Polus

По описанной выше программе я провела несколько тестов на полюсах с разным количеством процессов. Чтобы завершить программу на Полюсе за 20 минут, я пыталась много раз и выбрала начальное значение итерации  $w^{(0)} = 0.82$  с точностью  $EPS = 5e - 6$ .

В следующих двух таблицах время работы программы сравнивается при разном количестве процессов. По таблицам можем получить следующие результаты:

- По результатам, представленным в (Табл. 1), можно обнаружить, что при увеличении количества процессов на 4, 8, 16 и 32 соответственно экспоненциально уменьшается и время работы программы. При количестве процессов 32 не получается ускорение = 8. Возможная причина в том, что при увеличении количества процессов увеличиваются коммуникационные издержки между процессами, такие как `Ised()`, `Irecv()`, `Allreduce()` при обмене граничные данные блока процессов.
- При одном и том же количестве процессов, по мере увеличения данных, в моем варианте соответственно увеличивается время работы программы, что логично, т.к. увеличивается количество данных, обрабатываемых программой.
- Таблица 2 может быть получена из гибридной программы (OpenMP+MPI). По сравнению с таблицей 1, когда количество процессов в таблице 2 \* количество нитей = количеству процессов в таблице 1, скорость работы гибридной программы выше, чем у программы, использующей только MPI, а ускорение составляет около 1,2. Это связано с тем, что мы используем технологию openMP в гибридной программе, которая позволяет нам распределять огромные вычисления по разным нитям, и этим нитям не нужно взаимодействовать друг с другом, что экономит накладные расходы на связь.

Число процессов MPI	Число точек сетки $M \times N$	Время(s) решения	Ускорение
4	$500 \times 500$	1112.64	1
8	$500 \times 500$	495.322	2.24
16	$500 \times 500$	281.639	3.95
32	$500 \times 500$	154.578	7.18
4	$500 \times 1000$	1204.588	1
8	$500 \times 1000$	567.061	2.12
16	$500 \times 1000$	304.805	3.96
32	$500 \times 1000$	178.434	6.75

Таблица 1: Таблица с результатами расчетов на ПВС IBM Polus (MPI код)



Число процессов MPI	Количество ОМР-нитей в процессе	Число точек сетки $M \times N$	Время решения (s)	Ускорение
1	4	$500 \times 500$	882.625	1
2	4	$500 \times 500$	459.591	1.92
4	4	$500 \times 500$	223.738	3.94
8	4	$500 \times 500$	119.497	7.38
1	4	$500 \times 1000$	945.218	1
2	4	$500 \times 1000$	507.27	1.86
4	4	$500 \times 1000$	237.915	3.97
8	4	$500 \times 1000$	152.889	6.18

Таблица 2: Таблица с результатами расчетов на ПВС IBM Polus (MPI + OpenMP)

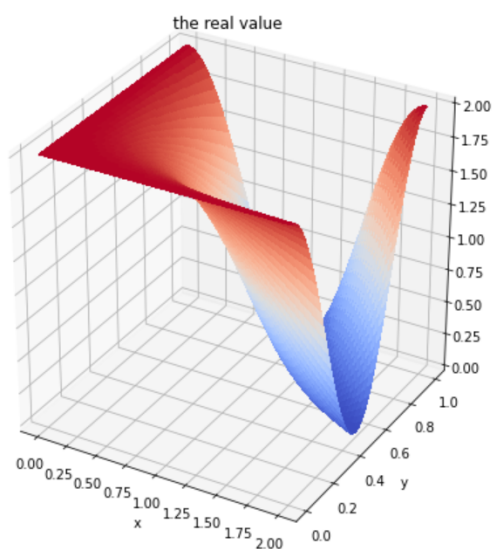


Рис. 6.1: real value

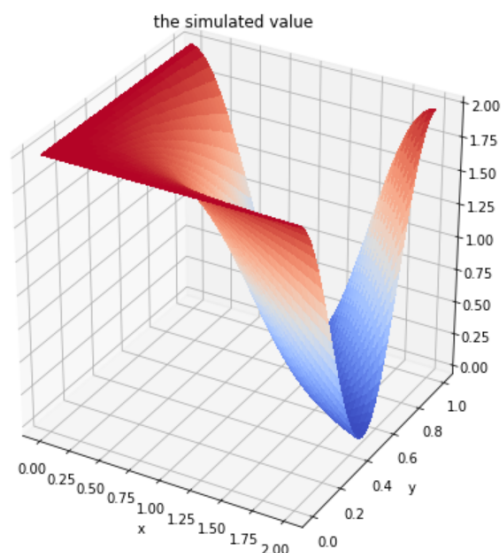


Рис. 6.2: simulated value